

ОБЪЕДИНЕННЫЙ  
ИНСТИТУТ  
ЯДЕРНЫХ  
ИССЛЕДОВАНИЙ  
ДУБНА



6955

Экз. чит. зала

13 - 6955

Б.Ю.Балдин, З.Цисек

ГЕНЕРАТОР НАНОСЕКУНДНЫХ ИМПУЛЬСОВ  
ДЛЯ ПИТАНИЯ СВЕТОДИОДОВ

**1973**

ЛАБОРАТОРИЯ ЯДЕРНЫХ ПРОБЛЕМ

13 - 6955

Б.Ю.Балдин, З.Цисек

ГЕНЕРАТОР НАНОСЕКУНДНЫХ ИМПУЛЬСОВ  
ДЛЯ ПИТАНИЯ СВЕТОДИОДОВ

*Направлено в ПТЭ*

Научно-техническая  
библиотека  
ОИЯИ

Применение полупроводниковых источников света для моделирования световых вспышек в сцинтиляционных и черенковских счетчиках позволяет настраивать и калибровать регистрирующую аппаратуру без пучка частиц и вести непрерывный или периодический контроль за работой установки в ходе эксперимента при длительных экспозициях /1,2/.

Для ряда задач генераторы наносекундных импульсов, описанные в литературе /3,4/, не обеспечивают необходимой амплитуды сигнала при использовании световых диодов типа АЛ1О2. В настоящей работе описывается 10-канальный генератор наносекундных импульсов большой амплитуды /  $\approx 130$  в/ с малым временем нарастания /  $\leq 4$  нсек/. Благодаря высокой точности временной привязки выходных сигналов к сигналу внешнего запуска /  $\leq 10$  псек/ генераторы описанного типа при запуске их от общего источника сигнала могут обеспечить синхронную работу любого числа световых диодов.

Принципиальная схема генератора представлена на рис. 1. Логический входной сигнал дифференцируется цепью  $D2, R5, C12$  в эмиттере транзистора  $T1$  и запускает одновибратор на кабеле  $D1$ . Сформированный сигнал длительностью около 30 нсек усиливается транзистором  $T2$  и через эмиттерные повторители  $T3, T5$  поступает на базы десяти буферных каскадов. Для упрощения на принципиальной схеме показан только один выходной каскад.

В выходных каскадах генератора используются два последовательно включенных транзистора типа КТ312В, работающих в режиме лавинного пробоя /5/. В исходном состоянии ток через транзисторы  $T7, T8$  ограничен резистором  $R13$  и емкость  $C11$  заряжена до напряжения  $\approx 2U_M$ . С приходом запускающих импульсов в базы транзисторов  $T7, T8$  напряжение на коллекторе  $T7$  резко падает до величины  $\approx 2U_a$  /6/.

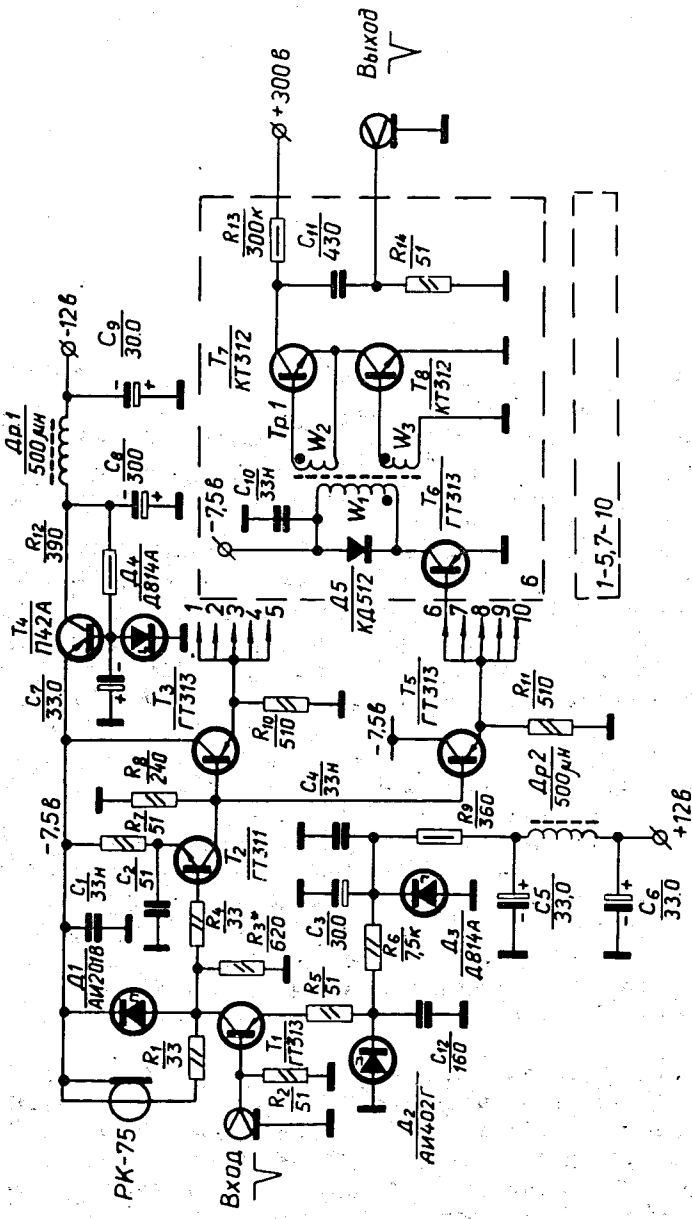


Рис. 1. Принципиальная схема генератора.

Емкость С11 разряжается через транзисторы Т7, Т8 и параллельно включенные сопротивление внешней нагрузки и резистор R14. Резистор R14 предназначен для согласования выходного сопротивления генератора с волновым сопротивлением кабеля.

При сопротивлении внешней нагрузки 50 ом амплитуда сигнала генератора достигает 130 в. Передний фронт импульса равен 4 нсек, а постоянную времени спада импульса можно регулировать путем изменения величины емкости С11. В нашем случае она была выбрана из условия максимального приближения формы выходного сигнала ФЭУ /ХР1О2О/ при освещении фотокатода светодиодом АЛ 1О2В, работающим в режиме лавинного пробоя на обратной ветви, к форме сигнала того же фотоумножителя, получаемого от пластического сцинтиллятора \*, облучаемого  $\gamma$ -квантами при энерговыделении в сцинтилляторе  $\approx 1$  Мэв.

Быстродействие генератора ограничено скоростью заряда емкости С11 через резистор R13 в выходных каскадах генератора и составляет 1000 гц. При необходимости быстродействие может быть повышенено путем уменьшения величины сопротивления R13.

Питание выходных каскадов осуществляется от стабилизированного преобразователя напряжения, принципиальная схема которого представлена на рис. 2. Преобразователь представляет собой мультивибратор с трансформаторной связью на транзисторах Т1, Т2, охваченный обратной связью по цепи питания через транзистор Т3. Преобразователь обеспечивает стабильность выходного напряжения 0,1% при изменении напряжения питания +12 в на 1 в.

Выходное сопротивление преобразователя 10 ом.

Практическое использование генератора показало, что в его схему целесообразно ввести генератор запускающих импульсов для работы в режиме внутреннего запуска. Схема входных цепей модифицированного варианта генератора с двумя режимами запуска показана на рис. 3. Частота автогенератора на транзисторе Т9 и тунNELЬНОМ диоде Д6 составляет 1000 гц. С помощью резисторов R15, R16 задается частота генерации и устойчивый режим работы автогенератора.

В выходных каскадах генератора могут быть использованы транзисторы типа КТ312Б и КТ312В. Транзисторы предварительно отбирались по напряжению лавинного пробоя в режиме короткого замыкания между базой и эмиттером. Как показали изме-

\* На основе полистирола с добавками 2% Р-терфеила и 0,02% РОРОР.

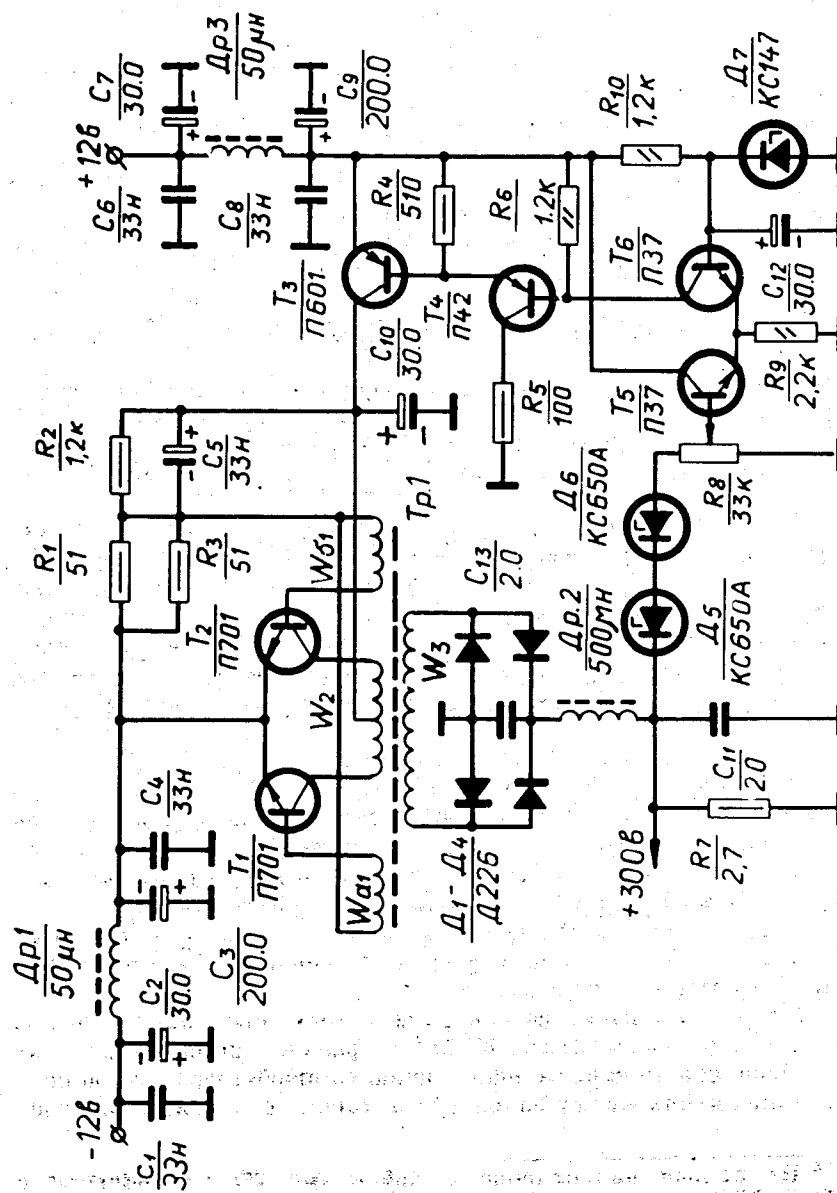


Рис. 2. Схема стабилизированного преобразователя напряжения.

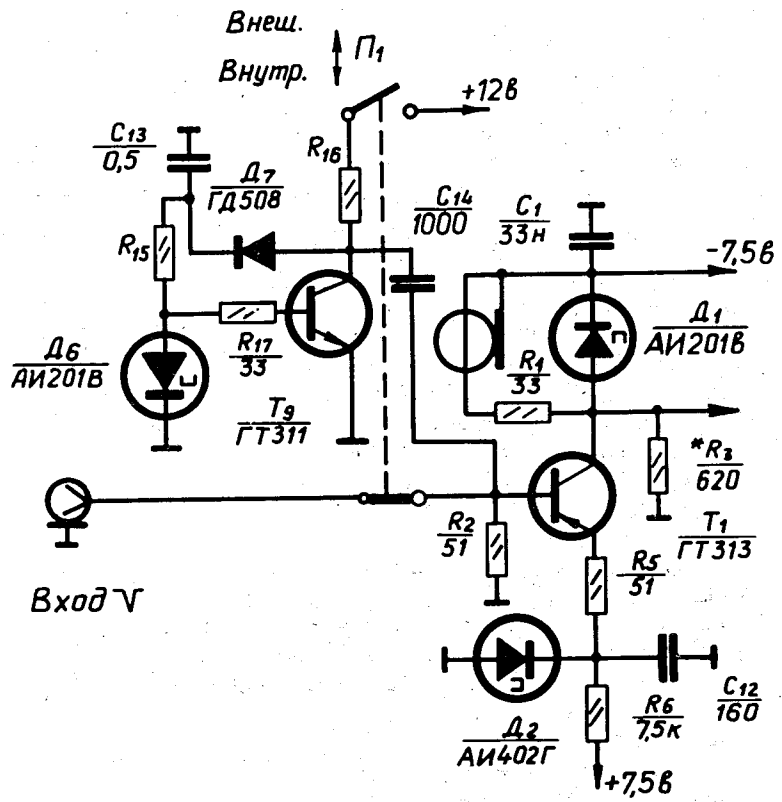


Рис. 3. Схема входных цепей генератора с двумя режимами запуска.

рения, это напряжение для транзисторов указанных типов практически не отличается от  $U_M$ . Отбор транзисторов КТ312В из партии в 100 штук показал, что  $\approx 70\%$  транзисторов работоспособны и имеют напряжение лавинного пробоя больше 120 в. Транзисторы типа КТ312Б работоспособны на  $\approx 90\%$  и имеют разброс напряжений лавинного пробоя от 100 до 160 в.

Трансформаторы ТР1 в выходных каскадах генератора выполнены на кольцевых сердечниках типа М50 ВЧ-2 размерами  $12 \times 6 \times 4,5$  мм<sup>3</sup>. Намотка производится скрученным втрое проводом ПЭЛШО О,35. Обмотки W1, W2, W3 содержат по 10 витков. Трансформатор ТР1 стабилизированного преобразователя напряжения выполнен на кольцевом сердечнике типа М2000НМ размерами  $31 \times 18,5 \times 7$  мм<sup>3</sup>. Обмотка W1 содержит 2x12 витков ПЭЛШО О,35, W2 - 2x60 витков ПЭВ О,68, W3 - 1000 витков ПЭЛШО О,1. Транзистор Т3 преобразователя напряжения помещен на радиатор размерами  $80 \times 35 \times 4$  мм<sup>3</sup>.

Генератор и стабилизированный преобразователь напряжения размещены на двух платах в стандартном блоке "Вишня" с размерами передней панели  $80 \times 160$  мм<sup>2</sup>.

#### Технические параметры:

Входной сигнал - отрицательный

Амплитуда - 16 мА/50 ом

Длительность -  $\geq 7$  нсек

Порог срабатывания - 0,4 в

Выходной сигнал - отрицательный

Амплитуда -  $130 \pm 10$  в/ 50 ом

Длительность переднего фронта -  $4,0 \pm 0,5$  нсек

Длительность спада импульса -  $15 \pm 2$  нсек

Стабильность амплитуды выходного сигнала - 0,1%

Выходное сопротивление - 50 ом

Число выходов - 10

Задержка срабатывания -  $16 \pm 2$  нсек

Долговременная стабильность

задержки срабатывания -  $\pm 10$  псек

Электрическое разрешение -  $\leq 10$  псек

Предельная частота срабатывания - 1 кГц

Частота внутреннего генератора - 1 кГц

Потребляемые токи при частоте

запусков 1 кГц - +12 в - 140 мА

-12 в - 140 мА

Генераторы описанного типа успешно эксплуатируются в течение 1 года. Они использовались в эксперименте по поиску новых тяжелых частиц на синхротроне ИФВЭ<sup>77</sup> и показали себя надежными и удобными в работе. Время работы отдельных образцов превышает 1500 час.

В заключение авторы выражают благодарность А.И. Ронжину за ценные обсуждения, а также В.И. Красину за монтаж блоков.

#### Литература

1. В.И.Петрухин, В.И.Рыкалин, Д.М.Хазин, З.Цисек. ЯФ, т. 9, вып. 3, 1969 г.
2. А.А.Борисов и др. Материалы международной конференции по аппаратуре в физике высоких энергий. Д-5805, Дубна, 1970 г.
3. Н.К.Вишневский, В.И.Рыкалин, З.Цисек. ПТЭ, №5, 1968 г., стр. 105.
4. В.Ф.Борейко и др. Препринт ОИЯИ 13-6396, Дубна, 1972 г.
5. В.П.Дьяконов. ПТЭ, №3, 1972 г., стр. 138.
6. И.Ф.Николаевский, Д.В.Игумнов. Параметры и предельные режимы работы транзисторов. Изд. "Советское радио", М., 1971 г.
7. Я.В.Гришкевич и др. Материалы международной конференции по аппаратуре в физике высоких энергий. Д-5805, Дубна, 1970 г.

Рукопись поступила в издательский отдел  
16 февраля 1973 года.